

ИНСТИТУТ ЯДЕРНОЙ ФИЗИКИ
СО АН СССР

78

Н.С.Бучельникова, Е.П.Маточкин

**НЕУСТОЙЧИВОСТЬ И ЗАТУХАНИЕ
ОДНОМЕРНЫХ ЛЕНГМЮРОВСКИХ
ВОЛН**

ПРЕПРИНТ ИЯФ 79 - 115

Новосибирск

Н.С.Бучельникова, Е.П.Маточкин

НЕУСТОЙЧИВОСТЬ И ЗАТУХАНИЕ ОДНОМЕРНЫХ ЛЕНГМЮРОВСКИХ ВОЛН

А Н Н О Т А Ц И Я

Изложены результаты численных экспериментов (метод "частиц в ячейках") по исследованию неустойчивости и затухания одномерных ленгмюровских волн в широком диапазоне параметров $E_0^2/8\pi nT \sim 3 \cdot 10^{-8} + 10^2$; $v_{\phi}/v_T \sim 2,5 + 160$. Показано, что при развитии неустойчивости и затухании основными процессами являются стимулированный распад, модуляционная неустойчивость, конверсия волн на неоднородности плотности, образование солитона, затухание Ландау в области $v_{\phi}/v_T \lesssim 1$, $E_0^2/8\pi nT \lesssim \frac{1}{2}(k_0 r_d)^2$, затухание, связанное с захватом электронов волной в области $v_{\phi}/v_T > 1$, $E_0^2/8\pi nT > \frac{1}{2}(k_0 r_d)^2$. Показано, что предел применимости линейной теории неустойчивости ленгмюровских волн дает кривая границы электронной нелинейности, описываемая формулой $E_0^2/8\pi nT \sim 10^{-3}/(k_0 r_d)^2$ в области $v_{\phi}/v_T \gtrsim 10$. Показано, что нелинейная теория модуляционной неустойчивости, предсказывающая образование солитонов, применима только в области $E_0^2/8\pi nT < k_0 r_d$. В области $E_0^2/8\pi nT > k_0 r_d$ наблюдается коллапс

ВВЕДЕНИЕ

Ленгмировские волны (далее) исследовались в теории. Построена теория затухания волн малой и конечной амплитуды, линейная и нелинейная теория неустойчивости ленгмировских волн с учетом подвижности ионов. Однако, области применимости тех или иных теоретических моделей четко не определены. Лабораторные эксперименты за редким исключением имеют качественный характер и не позволяют сделать выводы о правильности и области применимости теории. Некоторую возможность сделать шаг вперед в этом направлении представляет численный эксперимент.

Ленгмировские волны - одно из самых простых явлений в плазме - интенсивно исследовались в теории. Построена теория затухания волн малой и конечной амплитуды, линейная и нелинейная теория неустойчивости ленгмировских волн с учетом подвижности ионов. Однако, области применимости тех или иных теоретических моделей четко не определены. Лабораторные эксперименты за редким исключением имеют качественный характер и не позволяют сделать выводы о правильности и области применимости теории. Некоторую возможность сделать шаг вперед в этом направлении представляет численный эксперимент.

Мы выполнили ранее методом численного эксперимента ряд работ /1-8/, посвященных исследованию неустойчивости и затухания одномерных ленгмировских волн в широком диапазоне начальных параметров $E_0^2/8\pi nT \sim 3 \cdot 10^{-8} - 10^2$; $v\phi/v_T \sim 2,5 + i60$. Для численного моделирования использовался метод "частиц в ячейках", который представляет собой метод полного решения кинетического уравнения и может рассматриваться как самостоятельная численная модель плазмы. Эта модель имеет область применимости более широкую, чем математические модели, содержащие параметр малости или использующие гидродинамическое описание (например, модели, основанные на уравнениях Захарова /9/) и может быть использована как в области применимости этих моделей, так и в области больших параметров (например, больших амплитуд волны), где они неприменимы. Это позволяет, проведя численные эксперименты в широком диапазоне параметров, выяснить, какие физические механизмы существенны в том или ином диапазоне, и найти пределы применимости имеющихся теоретических моделей.

В настоящей работе мы приведем основные сведения об использовании нами методе расчета и сформулируем основные результаты, полученные при исследовании одномерных ленгмировских волн.

Метод расчета

Метод "частиц в ячейках" был описан в работе Морзе и Нильсена /10/ и использовался нами сначала в системе с неподвижными ионами /1/, а затем - с подвижными /2-8/. Рассматривается одномерная система длиной L с периодическими граничными ус-

ловиями $f(0, v, t) = f(L, v, t)$, $\varphi(0, t) = \varphi(L, t)$,
 $E(0, t) = E(L, t)$, где $f(x, v, t)$ — функция распределе-
 ния по координатам и скоростям, $\varphi(x, t)$ — потенциал, $E(x, t)$ —
 электрическое поле. Система разбивается на ячейки с длиной, рав-
 ной дебаевскому радиусу r_d . Электроны и ионы задаются модели-
 рующими частицами, размытыми по прямоугольнику длиной r_d , с
 таким же отношением e/m , как у реальных электронов, и
 e/M для заданной массы ионов. Обычно задается $M/m = 10^2$,
 в отдельных случаях 10^3 .

Для решения уравнений движения частиц применяется центри-
 рованная по времени разностная схема /10/ (индексы указывают
 моменты времени относительно заданного t , например, индекс
 $I/2$ соответствует моменту $t + 1/2 \tau$, где τ — временной
 шаг).

$$V_{1/2} = V_{-1/2} + E_0 \tau$$

$$X_1 = X_0 + V_{1/2} \tau$$

здесь X нормировано на r_d , τ — на T_{oe} , V — на V_T ,
 E — на $\frac{r_d}{e/m \cdot T_{oe}^2}$; $V_T = \sqrt{T_e/m}$, $T_{oe} = 2\pi/\omega_{oe}$, $\omega_{oe} = \frac{4\pi n e^2}{m}$.

Электрическое поле определяется интегрированием уравнения
 Пуассона в центрах ячеек по распределению плотности заряда и
 линейно интерполируется на промежуточные значения X .

При работе методом "частиц в ячейках" существенную пробле-
 му представляют тепловые шумы, т.к. число частиц обычно невели-
 ко. В нашем случае $N_e = N_i = 10^4$, длина ячейки $1 r_d$, так
 что при длине системы $L \sim 10^2 + 10^3 r_d$ плотность частиц в
 ячейке $10^2 + 10$. Для понижения уровня начальных шумов приме-
 няется метод "спокойного старта" /11/. Метод заключается в том,
 что функция распределения частиц по скоростям и координатам
 задается одинаковой во всех ячейках. При этом перемещение час-
 тич в пространстве не приводит к флуктуациям плотности в отли-
 чие от случая с тепловыми шумами. Уровень шумов определяется
 ошибками счета и составляет $\sim 10^{-3}$ от уровня тепловых шумов.
 Однако, этот уровень не остается постоянным, а нарастает за
 время порядка одного-нескольких десятков плазменных периодов
 /7/. Расчет имеет смысл до тех пор пока спектральный уровень

шума остается малым по сравнению с уровнем гармоник исследуе-
 мого эффекта, так что могут быть исследованы только те эффек-
 ты, скорость роста которых больше, чем для шумов, или те,
 которые развиваются за время, пока шумы не успели нарасти. Та-
 ким образом, шумы существенно ограничивают область применимос-
 ти метода "частиц в ячейках" особенно для малых амплитуд и боль-
 ших длин волн. Несколько расширить эту область удается при ис-
 пользовании периодического "сглаживания" распределения плот-
 ности и поля /6/. Известный метод "сглаживания" функции рас-
 пределения /12, 13, 19/ нами не использовался из-за больших за-
 трат машинного времени.

При работе методом "спокойного старта" вид полной функции
 распределения определяется видом $f(v)$ в одной ячейке. По-
 скольку число частиц в ячейке невелико, распределение по ско-
 ростям производится не с помощью датчика случайных чисел, а
 задается алгоритмом, основанным на том, что среднее значение
 интервала по скоростям Δv , приходящегося на одну частицу
 со скоростью v , определяется значением функции распределе-
 ния — $\Delta v = 1/f(v)$. В каждой ячейке первой частице приписы-
 вается координата центра ячейки и скорость $v = 0$. Для каждой
 следующей частицы скорость возрастает на Δv и определяет-
 ся алгоритмом

$$v_{n+1} = v_n + \frac{\sqrt{\pi} L V_T}{r_d N} \exp(v_n/V_T)^2$$

$$X_{n+1} = X_n + L/N$$

Полученная таким способом максвелловская функция распреде-
 ления обрезана по скоростям на некоторой предельной скорости
 v_m , зависящей от n_0 /7, 8/. Обычно задается $n_0 = 10^2$,
 при этом $v_m = 2,15 V_T$, так что у максвелловской функ-
 ции распределения обрезаны хвосты с $v > 2,15 V_T$, содер-
 жащие 1,6% частиц каждый. При исследовании явлений, связанных
 с захватом электронов волной, это определяет пределы примени-
 мости модели. Действительно, параметры волны должны быть та-
 кими, чтобы захватывались электроны с начальными скоростями
 $v \lesssim 2 V_T$, так что найденная ранее граница захвата /4, 7/

и определяет границу применимости модели. При исследовании других явлений (модуляционной неустойчивости, затухания и т.д.) отсутствие существенных ошибок, связанных с искажением максвелловской функции распределения контролируется изменением числа частиц и $\sqrt{m}/7,8/$.

Для ионов также задается максвелловское распределение, обычно $T_i/T_e = 1/30$. В начальный момент времени ионы равномерно распределяются по длине системы.

Ленгмюровская бегущая волна с полем $E(x,t) = -E_0 \cos(\omega t - kx)$ задается возмущением плотности и скоростей электронов, соответствующим линейной волне

$$\frac{\delta n}{n_0} = \frac{k_0 E_0}{4\pi e n_0} \sin(\omega_0 t - k_0 x)$$

$$\delta v(x,t) = \frac{\omega_0 E_0}{4\pi e n_0} \sin(\omega_0 t - k_0 x)$$

где $k_0 = 2\pi/\lambda_0$ - волновой вектор,
 ω_0 - собственная частота плазмы

$$\omega_0^2 = \omega_{oe}^2 + \omega_{oi}^2 + 3k_0^2 v_T^2; \quad v_\phi = \omega_0/k_0$$

Для задания стоячей волны с амплитудой E_0 и полем $E(x,t) = E_0 \sin \omega_0 t \sin k_0 x$ задаются прямая и обратная бегущие волны с амплитудами $E_0/2$ и фазовыми скоростями $v_\phi = \pm \omega_0/k_0$ /5,6/.

Правильность расчета постоянно контролируется по сохранению полной энергии и полного импульса системы и проверяется по независимости результатов от счетных параметров - числа ячеек, временного шага, числа частиц, в некоторых случаях - от точности расчета (для понижения точности в ячейку памяти ЭВМ записывается два "слова" вместо одного).

Правильность модели и метода расчета подтверждается совпадением результатов численного эксперимента с результатами теории и лабораторного эксперимента в той области, где они имеются:

1. Взаимодействие пучка малой плотности с плазмой - возбуждение неустойчивости и захват пучка ленгмюровской волной.

Численный эксперимент /1/ в области $(n_1/n_0)^{1/3} \ll 1$ дает результаты, практически совпадающие с результатами теории /14, 15/ - анализ результатов и сравнительные кривые приведены в /1/. Правильность результатов теории /14/ подтверждается лабораторным экспериментом в замагниченной плазме /16/.

2. Затухание ленгмюровских волн малой конечной амплитуды - затухание с декрементом Ландау на начальной стадии и колебания с периодом захваченных частиц в дальнейшем. Это явление хорошо исследовано - результаты теории /17/ хорошо согласуются с результатами лабораторных /18/ и численных /19/ экспериментов. Согласуются с ними и результаты наших численных экспериментов в области малых амплитуд волны $e\phi_0/T < 1$ - сравнительные кривые приведены в /4/ и на Рис.1.

Затухание ленгмюровской волны. Граница электронной нелинейности /4,7,8/

Область ленгмюровских волн малой конечной амплитуды хорошо исследована. Для этой области построена теория /17/, справедливая при условии $\omega/\omega_B \gg (v_\phi/v_T)^2$, что равноценно условиям $e\phi_0/T \ll (v_T/v_\phi)^2$, $\sqrt{e\phi_0/m} \ll v_T \cdot v_T/v_\phi$ и $E_0^2/8\pi n T \ll \frac{1}{2}(k_0 r_d)^6$ ($\omega_B = k \sqrt{e\phi/m}$ - частота колебаний захваченных частиц).

В теоретической модели учитываются явления, связанные с движением в поле волны электронов, невозмущенные скорости которых лежат в области захвата и вблизи от сепаратрисы

$$v = v_\phi \pm 2\sqrt{\frac{e\phi_0}{m}} \sin \frac{\pi}{\lambda_0} (x - x_0),$$

остальная часть функции распределения считается невозмущенной. Согласно теории на начальной стадии волна затухает с декрементом затухания, равным декременту Ландау γ_L , в дальнейшем амплитуда волны осциллирует с периодом колебаний захваченных частиц (Рис.1). С результатами теории хорошо согласуются результаты тщательно выполненных лабораторных /18/ и численных /19/ экспериментов, проводившихся в области $e\phi_0/T \ll 1$, $\sqrt{e\phi_0/m} \ll v_T$, несколько более широкой, чем область для которой построена теория /17/.

Численный эксперимент по исследованию затухания ленгмюровских волн /4,8/ проводился в диапазоне начальных параметров волны $E_0^2/8\pi n T \sim 3 \cdot 10^{-4} + 10^2$; $v_\phi/v_T \sim 2,5 + 20$;

$(K_0 r_d)^2 \sim 2 \cdot 10^{-3} + 3 \cdot 10^{-1}$; $\sqrt{e\varphi_0}/v_T \sim 0,2+20$; $\frac{e\varphi_0}{T} \sim 4 \cdot 10^{-2} + 10^2$;
 $\sqrt{e\varphi_0}/v_\phi \sim 0,1+0,8$. Ионы задавались неподвижными $M/m = 10^{10}$,
 чтобы исключить неустойчивости волны (распад, модуляционную не-
 устойчивость и т.п.).

В области малых амплитуд, когда возмущенная скорость мень-
 ше тепловой $\sqrt{e\varphi_0}/m \leq v_T$ и $e\varphi_0/T \leq 1$ (в этой области иссле-
 довался диапазон $v_\phi/v_T \sim 2,5+4,2$), результаты численного экс-
 перимента согласуются с результатами теории и затухание описы-
 вается декрементом затухания Ландау (Рис.1) /4,8/. Когда воз-
 мущенная скорость превышает тепловую $\sqrt{e\varphi_0}/m > v_T$ и $\frac{e\varphi_0}{T} > 1$
 декремент затухания становится больше декремента Ландау. Отно-
 шение δ/γ_L экспоненциально растет с ростом начальной амплиту-
 ды и фазовой скорости волны, так что декремент может на много
 порядков превышать γ_L (Рис.2). В этой области декремент за-
 тухания практически линейно зависит от числа захваченных волной
 электронов, которое экспоненциально растет с ростом амплитуды
 и фазовой скорости волны. Механизм явления, приводящего к рос-
 ту декремента затухания, заключается в захвате и ускорении элект-
 тронов из основной части функции распределения по скоростям
 (в исследованном диапазоне параметров это электроны с невозму-
 щенными скоростями $< 2v_T$) вследствие её сильного возмущения
 полем волны /8/.

При построении теоретических моделей обычно считается, что
 затухание ленгмюровских волн описывается декрементом затухания
 Ландау, так что в области $v_\phi/v_T \gg 1$, $K_0 r_d \ll 1$ затуха-
 ние считается пренебрежимо малым. Результаты нашего численного
 эксперимента показывают, что затухание ленгмюровских волн мож-
 но описать декрементом Ландау только в области $e\varphi_0/T \leq 1$,
 $E_0^2/8\pi n T \leq \frac{1}{2}(K_0 r_d)^2$. В области $e\varphi_0/T > 1$,
 $E_0^2/8\pi n T > \frac{1}{2}(K_0 r_d)^2$ декремент может существенно превышать γ_L .
 Отметим, что условие $E_0^2/8\pi n T > \frac{1}{2}(K_0 r_d)^2$ совпадает с извест-
 ным условием возбуждения сверхзвуковой модуляционной неустой-
 чивости.

На Рис.3,4 представлены кривые равного затухания соответ-
 ствующие начальным параметрам волн, затухающих с одинаковым
 декрементом, для значений декремента $\delta/\omega_{oe} \sim 10^{-2} + 3 \cdot 10^{-1}$.

В области $e\varphi_0/T \leq 1$ они представляют собой вертикальные,
 прямые $\delta = \gamma_L$, в области $v_\phi/v_T \approx 10$ -прямые $E_0^2/8\pi n T \sim \frac{\alpha'}{(K_0 r_d)^2}$
 ($\alpha' \sim 3,8 \cdot 10^{-2} + 2,3 \cdot 10^{-1}$) или $\sqrt{e\varphi_0}/v_T \sim \alpha'' v_\phi/v_T$ ($\alpha'' \sim 0,54-0,82$)
 Кривые равного затухания можно использовать для характеристики
 пределов применимости теоретических моделей, не учитывающих за-
 тухание.

Область применимости моделей, использующих гидродинамичес-
 кое описание определяется, в частности, условием малости эффек-
 тов, связанных с электронной нелинейностью. Численный экспери-
 мент позволяет сформулировать эти условия. Численный экспери-
 мент по исследованию электронной нелинейности /4,7/ проводился
 в диапазоне начальных параметров волны $E_0^2/8\pi n T \sim 10^{-8} + 10^3$;
 $v_\phi/v_T \sim 2,5+160$; $(K_0 r_d)^2 \sim 4 \cdot 10^{-5} + 3 \cdot 10^{-1}$.

В монохроматической волне электронная нелинейность прояв-
 ляется, когда возмущенная скорость электронов становится близ-
 кой к области захвата. При этом электрон дольше остается в фа-
 зе ускоряющего поля и набирает большую скорость, чем в линей-
 ном случае. Это приводит к увеличению энергии колебаний элект-
 тронов по сравнению с энергией поля $\Delta W_e/W_E > 1$ и к увели-
 чению плотности электронов в фазах ускоряющего поля $\tilde{n}_+/\tilde{n}_- > 1$,
 так что возмущение плотности обостряется, а поле волны $E(x)$
 укрупняется. Это эквивалентно появлению более высоких гармоник
 поля с той же фазовой скоростью, что и основная волна. Предель-
 ным случаем электронной нелинейности является захват электро-
 нов волной, при котором возмущенные скорости электронов попада-
 ют в область захвата, так что электроны ускоряются до скоростей
 $v \sim v_\phi + 2\sqrt{e\varphi_0}/m$. Этот эффект и определяет большое затухание, рас-
 смотренное выше.

Граница электронной нелинейности - начальные параметры
 волн, при которых электронная нелинейность становится сущест-
 венной, - определялась по отличию отношений $\Delta W_e/W_E$, \tilde{n}_+/\tilde{n}_-
 от единицы (существенным считалось отличие $5+10\%$) /4,7/.
 Найденная кривая приведена на Рис.3,4. В области больших фазо-
 вых скоростей $v_\phi/v_T \approx 10$ она представляет собой прямую
 $\sqrt{e\varphi_0}/v_T \sim 0,2 v_\phi/v_T$ или $E_0^2/8\pi n T \sim 10^{-3}/(K_0 r_d)^2$. Граница за-
 хват электронов с невозмущенными скоростями $\sim 2 v_T$, опреде-

ленная по виду фазовой плоскости, оказывается близкой к линии равного затухания с $\gamma/\omega_{oe} \sim 3 \cdot 10^{-2}$ и в области больших V_{ϕ}/V_T представляет собой прямую $\sqrt{\frac{e\phi_0}{m}}/V_T \sim 0.6 \frac{V_{\phi}}{V_T}$ или $\frac{E_0^2}{8\pi n T} \sim \frac{6 \cdot 10^{-2}}{(K_0 r_d)^2}$

Неустойчивость бегущей ленгмюровской волны - начальная стадия /6,7/

Устойчивость одномерной ленгмюровской волны интенсивно исследовалась теоретически. Было найдено, что ленгмюровская волна неустойчива, характер неустойчивости зависит от начальных параметров волны. Наиболее полное теоретическое исследование неустойчивостей ленгмюровской волны, обзор и анализ имеющихся результатов приведены в работе /20/. На Рис.4 представлена схема, показывающая области разных типов неустойчивости из работы /20/ с некоторыми добавлениями /А.М.Рубенчик, частное сообщение/.

- I. Модуляционная неустойчивость $\alpha < K_0$, $\lambda_m > \lambda_0$. α, λ_m - волновой вектор и длина волны гармоники с максимальным инкрементом, K_0, λ_0 - то же для заданной волны.
- II. Дозвуковая модуляционная неустойчивость $\alpha > K_0$, $\lambda_m < \lambda_0$.
- III. Сверхзвуковая (гидродинамическая) модуляционная неустойчивость $\alpha > K_0$; $\lambda_m < \lambda_0$.
- IV. Неустойчивость модифицированного распада $\alpha \sim 2K_0, \lambda_m \sim \frac{\lambda_0}{2}$.
- V. Распадная неустойчивость $\alpha \sim 2K_0$, $\lambda_m \sim \lambda_0/2$.

На Рис.4 приведены также найденные нами граница электронной нелинейности и линии равного затухания. Предел применимости линейной теории показывает граница нелинейности. Отметим, что границы областей неустойчивости зависят от отношения $\frac{M}{m}$, а граница нелинейности и линии равного затухания не зависят от него, так что область применимости линейной теории несколько меняется при изменении $\frac{M}{m}$. На Рис.4 показаны области неустойчивости для ионов водорода $M/m = 1836$.

Численный эксперимент по исследованию начальной стадии неустойчивости /6,7/ проводился в диапазоне начальных парамет-

ров волны $\frac{E_0^2}{8\pi n T} \sim 3 \cdot 10^{-8} + 10^2$, $V_{\phi}/V_T \sim 3 + 160$, $(K_0 r_d)^2 \sim 4 \cdot 10^{-5} + 2 \cdot 10^{-1}$, $M/m = 10^2$ в отдельных случаях $M/m = 10^3$, так что охвачены все области неустойчивости. Особенно подробно рассмотрена область неустойчивостей I-III от $\frac{E_0^2}{8\pi n T} \ll (K_0 r_d)^2 < \frac{m}{M}$ до $\frac{E_0^2}{8\pi n T} \gg \frac{m}{M} > (K_0 r_d)^2$ (изменение амплитуды $E_0^2/8\pi n T \sim 10^{-8} + 10^2$ при $V_{\phi}/V_T = 16$, $(K_0 r_d)^2 = 3,9 \cdot 10^{-3}$).

Во всем диапазоне параметров, лежащем ниже границы захвата, и включающем область применимости линейной теории и все области I-V, наблюдается неустойчивость одного типа. Она заключается в том, что поле ленгмюровской волны задает возмущение скоростей и плотности ионов, чем стимулируется нерезонансный распад $\nu_{k_0} \rightarrow \nu_{2k_0} - S_{k_0}$ с $\alpha \sim 2k_0$ и $\lambda_m \sim \lambda_0/2$, проявляющийся в росте впадины плотности с $\lambda = \lambda_0$ и модуляции волны с $\lambda_m < \lambda_0$ (в спектральном описании - рост ионной гармоники с $K = K_0$ и ленгмюровской с $K = 2K_0$). Эту неустойчивость можно назвать стимулированным распадом. Она отличается от всех неустойчивостей, найденных в теории. Особенно четко это проявляется в области модуляционных неустойчивостей I-III, где длина волны гармоники с максимальным инкрементом (длина модуляции) должна зависеть от амплитуды волны и уменьшаться с её ростом, причем в области I $\lambda_m > \lambda_0$, в областях II и III - $\lambda_m < \lambda_0$. В наблюдающейся в численном эксперименте неустойчивости длина модуляции не зависит от амплитуды волны и всегда меньше начальной длины волны. Причина этого расхождения с теорией, по-видимому, заключается в том, что при теоретическом рассмотрении из-за усреднения по времени $\sim 1/\omega_{oe}$ не учитывается возмущение ионов полем ленгмюровской волны, так что решение, соответствующее стимулированному распаду, теряется. Можно, конечно, ставить вопрос о постановке задачи. В численном эксперименте в начальный момент времени задается равномерное распределение ионов $n_i(x) = const$ и возмущение электронов, задающее ленгмюровскую волну. Такая постановка задачи кажется разумной, т.к. она соответствует реальному случаю, когда в однородной плазме каким-то способом (например, электронным пучком) быстро возбуждается ленгмюровская волна.

Неустойчивость бегущей ленгмювской волны -
нелинейная стадия /2,3,4,6,8/

Отличие наблюдающейся в численном эксперименте неустойчивости от теоретической должно проявиться на нелинейной стадии неустойчивости. Особенно существенным это отличие может быть в области I $E_0^2/8\pi nT < (K_0 r_d)^2$, где теоретическая неустойчивость должна приводить к модуляции волны с $\lambda_m > \lambda_0$ и на нелинейной стадии - к образованию солитона огибающей с $\Delta X > \lambda_0/20$, а стимулированный распад приводит к модуляции с $\lambda_m < \lambda_0$. В численном эксперименте в этой области нелинейная стадия неустойчивости не исследовалась из-за большого уровня шумов.

Отличие может оказаться не столь существенным в области II, III $E_0^2/8\pi nT > (K_0 r_d)^2$, где теоретическая неустойчивость должна приводить к модуляции волны с $\lambda_m < \lambda_0$ и основную роль должна играть пондеромоторная сила. Согласно теории развитие неустойчивости в этой области должно приводить к образованию квазистационарного ленгмювского солитона с параметрами, зависящими от начальной энергии волны и $\Delta X < \lambda_0/20$. Согласно /21,22/ поле солитона в случае, когда групповая скорость равна нулю, описывается формулой

$$E(x,t) = \frac{E_m}{\text{ch } \alpha_0 x} \sin(kx - \omega t)$$

где E_m - амплитуда поля.

Ширина солитона на уровне $1/2 E_m$

$$\Delta x/r_d = \left(\frac{48}{E_m^2/8\pi nT} \right)^{1/2}; \quad \alpha_0 = 2/\Delta x$$

Максимальное возмущение плотности

$$\left(\frac{\tilde{n}}{n_0} \right)_m = \frac{1}{2} \frac{E_m^2}{8\pi nT}$$

Численный эксперимент по исследованию нелинейной стадии неустойчивости /2-4,6/ проводился в диапазоне начальных параметров волны $E_0^2/8\pi nT \sim 4 \cdot 10^{-2} - 10^2$ при $V_\phi/V_T = 16$, $(K_0 r_d)^2 = 3,9 \cdot 10^{-3}$ и в диапазоне $V_\phi/V_T \sim 3 + 160$, $(K_0 r_d)^2 \sim 3,9 \cdot 10^{-5} + 1,7 \cdot 10^{-1}$ при $E_0^2/8\pi nT = 1,6$; $M/m = 10^2$,

в отдельных случаях $M/m = 10^3$. Таким образом, исследовалась область $E_0^2/8\pi nT > \frac{m}{M} > (K_0 r_d)^2$

На начальной стадии неустойчивости стимулированный распад приводит к образованию впадины плотности и модуляции волны с $\lambda_m < \lambda_0$. При дальнейшем развитии неустойчивости основную роль играет сила Миллера (пондеромоторная сила), которая приводит к выталкиванию плазмы из области концентрации электрического поля, росту впадины плотности и дальнейшей концентрации электрического поля (Рис.5,6) /2,3,6/. Таким образом, на этой стадии по физической картине неустойчивость не отличается от найденной теоретически модуляционной неустойчивости (область III).

Для волны с достаточно малой амплитудой (случай 6 /6,8/ - $E_0^2/8\pi nT = 4 \cdot 10^{-2}$; $V_\phi/V_T = 16$; $E_0^2/8\pi nT = 0,5 K_0 r_d$) развитие неустойчивости приводит к образованию квазистационарного солитона с равновесными параметрами (Рис.6, кривая 6). Это согласуется с теоретическим результатом и подтверждает, что, несмотря на различие в начальной стадии, на нелинейной стадии неустойчивость представляет собой модуляционную неустойчивость.

При большей амплитуде (случай 7 /6,8/ - $E_0^2/8\pi nT = 10^{-1}$; $V_\phi/V_T = 16$; $E_0^2/8\pi nT = 1,6 K_0 r_d$) развитие неустойчивости также приводит к образованию солитона с равновесными параметрами (Рис.5, Рис.6 - кривая 7). Однако, он не является квазистационарным и затухает в результате захвата и ускорения электронов с хвоста функции распределения коротковолновыми гармониками. Таким образом, этот случай показывает предел применимости нелинейной теории, не учитывающей затухания.

При дальнейшем увеличении амплитуды (случай 8 /2,3,6,8/ - $E_0^2/8\pi nT = 3 \cdot 10^{-1}$; $V_\phi/V_T = 16$; $E_0^2/8\pi nT = 4,8 K_0 r_d$) равновесный солитон не образуется, наблюдается быстрый рост концентрации поля (Рис.6,7 - кривая 8) и впадины плотности и уменьшение области локализации поля. При этом образуется неравновесный солитон, поле которого $E(x,t)$ меняется подобно полю солитона, но ширина ΔX больше, а глубина впадины плотности меньше равновесных для солитона с той же плотностью энергии, так что неравновесный солитон продолжает сжиматься и затухает прежде, чем достигнет параметров равновесного солитона. Таким обра-

зом, в этой области параметров $E_0^2/8\pi nT > 1.6 K_0 r_d$ наблюдается коллапс.

Если начальные параметры волны лежат выше границы нелинейности $E_0^2/8\pi nT > 10^{-3}/(K_0 r_d)^2$, развитие модуляционной неустойчивости быстро ограничивается затуханием (Рис.7 – кривые 9–II) и коллапс не успевает развиться /4/.

Если начальные параметры лежат в области сильного затухания $E_0^2/8\pi nT > 4 \cdot 10^{-2}/(K_0 r_d)^2$, ($\gamma/\omega_{oe} > 10^{-2}$), волна сильно затухает с самого начала и модуляционная неустойчивость не развивается (Рис.7 – кривые I2, I3) /4/.

Таким образом, численный эксперимент показывает, что нелинейная теория модуляционной неустойчивости, приводящая к выводу об образовании солитона при неустойчивости одномерной ленгмювской волны, справедлива для ограниченной области начальных параметров волны $E_0^2/8\pi nT < 1,6 K_0 r_d$. Найти предел применимости нелинейной теории можно также с помощью простых рассуждений, пользуясь схемой Рис.8 /8/. На этой схеме в координатах $E_0^2/8\pi nT - (K r_d)^2$ нанесены кривые равного затухания для

$\gamma/\omega_{oe} \approx 10^{-2}$, кривая параметров равновесного солитона $E_m^2/8\pi nT = 4,86 (K r_d)^2$, $K = \pi/\Delta x$ и кривые постоянной полной энергии волны $E_0^2/8\pi nT = \alpha (K_0 r_d)$ (из $E_0^2/16\pi nT \cdot \lambda_0 = \text{const}$)

кривая постоянной энергии соответствует разным комбинациям начальных параметров E_0 , $V\phi$, при которых полная энергия волн одинакова. С другой стороны при заданных начальных параметрах такая кривая приближенно характеризует изменение параметров неравновесного солитона при его сжатии, т.к. практически вся энергия волны оказывается сосредоточенной в неравновесном солитоне. Пересечение кривой постоянной энергии с кривой равновесного солитона соответствует тому, что при любых начальных параметрах, лежащих на этой кривой, развитие модуляционной неустойчивости приведет к образованию солитона. Если же кривая постоянной энергии сначала пересекает линию постоянного затухания с достаточно большим γ , то для всех параметров с той же полной энергией будет наблюдаться коллапс. Из Рис.8 видно, что пограничной кривой является линия $E_0^2/8\pi nT \sim K_0 r_d$, что согласуется с результатами численного эксперимента. Таким об-

разом, теория, предсказывающая образование квазистационарного солитона, справедлива только в области начальных параметров волны $E_0^2/8\pi nT < K_0 r_d$, а известное условие её применимости $E_0^2/8\pi nT \ll 1$ является недостаточным.

Численный эксперимент позволяет детально исследовать развитие неустойчивости ленгмювской волны и определить основные механизмы, которые играют роль. Мы уже говорили о начальной стадии неустойчивости – стимулированном распаде, следующей стадии – модуляционной неустойчивости, связанной с действием ponderomotorной силы. При развитии модуляционной неустойчивости существенную роль играет процесс конверсии волн на неоднородности плотности, который проявляется, когда возмущение плотности становится достаточно большим (в нашем диапазоне параметров $n/n_0 \approx 10^{-2}$). Этот процесс $\ell_{K_0} + S_{K_i} \rightarrow \ell_{K_0 \pm \beta K_i}$, $\beta = 1, 2, 3, \dots$ приводит к возбуждению обратных волн и более коротковолновых гармоник, т.е. к захвату электрического поля во впадину плотности и образованию стоячих волн /2–4/.

При развитии модуляционной неустойчивости образуется неравновесный продолжающий сжиматься солитон ленгмювский (пакет бегущих волн с определенными относительными фазами) или стоячий (пакет стоячих волн), если становится существенной конверсия. Сжатие неравновесного солитона приводит к образованию квазистационарного солитона или к затуханию /6/.

Затухание происходит в результате захвата электронов коротковолновыми гармониками, возбуждаемыми при сжатии неравновесного солитона и конверсии. Вследствие пересечения областей захвата гармоник захваченные электроны ускоряются до больших скоростей вплоть до $V \sim V\phi + \sqrt{e\phi_0/m}$ начальной волны. При этом основная часть функции распределения возмущается мало, но образуется хвост ускоренных электронов. Совместное действие конверсии и захвата приводит к практически полному поглощению энергии поля электронами плазмы /2–4/.

После затухания поля впадина плотности "схлопывается" в результате образования встречных ударных волн. Их взаимодействие друг с другом и плазмой приводит к развитию ионной турбулентности и появлению ускоренных ионов /3/.

Таким образом, можно перечислить основные процессы, которые играют роль при развитии неустойчивости и затухании ленгмювской волны в одномерной системе:

Стимулированный распад $\ell_{k_0} \rightarrow \ell_{2k_0} - S_{k_0}$, связанный с возбуждением ионов полем ленгмювской волны.

Модуляционная неустойчивость, связанная с выталкиванием плазмы из впадины плотности под действием пондеромоторной силы.

Конверсия ленгмювских волн на неоднородности плотности $\ell_{k_0} \pm S_{k_i} \rightarrow \ell_{k_0 \pm \beta k_i}$, $\beta = 1, 2, 3, \dots$, приводящая к возбуждению обратных волн и коротковолновых гармоник.

Образование квазистационарного солитона, связанное с равенством пондеромоторной силы и давления плазмы.

Затухание Ландау, играющее роль в области $e\varphi/T < 1$ или $E^2/8\pi nT < \frac{1}{2}(Krd)^2$.

Затухание, связанное с захватом электронов волной при сильном возмущении функции распределения, играющее роль в области $e\varphi/T > 1$ или $E^2/8\pi nT > \frac{1}{2}(Krd)^2$.

Понятие коллапс мы употребляли для случая, когда неустойчивость, связанная с действием пондеромоторной силы, приводит к затуханию поля, т.к. по физическому смыслу это и есть тот процесс, который был обнаружен теоретически в двумерном случае /9/. Однако, если понятие модуляционная неустойчивость употреблять не для конкретной неустойчивости, действующей в области I-III, а в более широком смысле - для любой неустойчивости, связанной с действием пондеромоторной силы (что довольно часто делается), то модуляционная неустойчивость и коллапс оказываются одним и тем же физическим процессом. Впрочем, и в этом случае разумно употреблять понятие коллапс для обозначения суммарного процесса - неустойчивости и затухания.

Неустойчивость стоячей ленгмювской волны /3,5,6/

Численный эксперимент по исследованию стоячей ленгмювской волны /5,6/ проводился в диапазоне начальных параметров волны $E_0^2/8\pi nT \sim 4 \cdot 10^{-2} \div 10^2$ при $V\varphi/V_T = \pm 16$, $(Krd)^2 = 3,9 \cdot 10^{-3}$ и в диапазоне $V\varphi/V_T \sim \pm(16-48)$, $(Krd)^2 \sim 3,9 \cdot 10^{-3} - 4,4 \cdot 10^{-4}$ при

$E_0^2/8\pi nT = 1,6$; $\frac{M}{m} = 10^2$. Таким образом, исследовалась область $E_0^2/8\pi nT > \frac{m}{M} > (Krd)^2$

Основная особенность развития неустойчивости в случае стоячей волны связана с тем, что плотность энергии поля в стоячей волне в отличие от бегущей с самого начала неоднородна, так что положение впадины плотности определяется областями максимального поля. Развитие неустойчивости всегда приводит к образованию стоячих солитонов неравновесных или равновесных. В остальном развитие неустойчивости стоячей волны не отличается качественно от случая бегущей волны - в обоих случаях в области одинаковых параметров играют роль одни и те же процессы. Так в области $E_0^2/8\pi nT < Krd$ образуется квазистационарный стоячий солитон /6/; в области $E_0^2/8\pi nT \approx Krd$ - равновесный, но затухающий стоячий солитон; в области $E_0^2/8\pi nT > Krd$ идет коллапс /6/; в области $E_0^2/8\pi nT > 4 \cdot 10^{-2}/(Krd)^2$ волна затухает с самого начала /5/.

Л и т е р а т у р а

1. В.Т.Астрелин, Н.С.Бучельникова, Ю.П.Захаров ЖТФ 45, 1184, 1975.
2. Н.С.Бучельникова, Е.П.Маточкин "Неустойчивость ленгмюровской волны большой амплитуды". Препринт ИЯФ 77-15, Новосибирск, 1977
Proc. XIII Int. Conf. Phenomena in Ionized Gases v. II, p. 831, 1977, Berlin.
3. Н.С.Бучельникова, Е.П.Маточкин "Неустойчивость нелинейной ленгмюровской волны". Препринт ИЯФ 77-39, Новосибирск, 1977.
Proc. III Int. Congress Waves and Instabilities in Plasmas, p. 71, 1977, Palaiseau.
4. Н.С.Бучельникова, Е.П.Маточкин "Неустойчивость и затухание ленгмюровских волн с разными амплитудами и фазовыми скоростями". Препринт ИЯФ 78-17, Новосибирск, 1978.
Proc. XIV Conf. Phenomena in Ionized Gases, Grenoble. J. Phys. 40, supplement au N 7, C7-633, 1979.
5. Н.С.Бучельникова, Е.П.Маточкин "Неустойчивость и затухание стоячих ленгмюровских волн с разными амплитудами". Препринт ИЯФ 78-19, Новосибирск, 1978.
6. Н.С.Бучельникова, Е.П.Маточкин "Неустойчивость одномерной ленгмюровской волны. Солитоны и коллапс". Препринт ИЯФ 78-76, Новосибирск, 1978.
Proc. XIV Int. Conf. Phenomena in Ionized Gases, Grenoble. J. Phys. 40, supplement au N 7, C7-631, 1979.
- "Взаимодействие электромагнитных волн с плазмой". Тезисы докладов, стр.84, Душанбе, 1979.
7. Н.С.Бучельникова, Е.П.Маточкин "Неустойчивость одномерной ленгмюровской волны". Препринт ИЯФ 79-21, Новосибирск, 1979.
8. Н.С.Бучельникова, Е.П.Маточкин "Затухание одномерной ленгмюровской волны". Препринт ИЯФ 79-112, Новосибирск, 1979.
9. В.Е.Захаров, ЖЭТФ 62, 1745, 1972.
10. R.L.Morse, C.W.Nielson Phys. Fl. 12, 2418, 1969.
11. J.A.Byers, M.S.Grewal. Phys. Fl. 13, 1819, 1970.
12. J.Denavit J. Comp. Phys. 9, 75, 1972.
13. N.P.Pereira, R.N.Sudan, J.Denavit. Phys. Fl. 20, 271, 1977.
14. Т.М.О'Neil, J.H.Winfrey, J.H.Malmberg Phys. Fl. 14, 1204, 1971;
Т.М.О'Neil, J.H.Winfrey 15, 1514, 1972.
15. И.Н.Онищенко, А.Р.Линецкий, Н.Г.Мациборко, В.Д.Шапиро, В.И.Шевченко. Письма ЖЭТФ 12, 407, 1970.
Н.Г.Мациборко, И.Н.Онищенко, В.Д.Шапиро, В.И.Шевченко Plasma Phys. 14, 591, 1972.
16. K.W.Gentle, J.Lohr Phys. Fl. 16, 1464, 1973.
17. R.Sugihara, T.Kamimura J. Phys. Soc. Japan 33, 206, 1972.
18. R.Franklin, S.Hamberger, G.Smith Phys. Rev.Let. 29, 914, 1972.
19. J.Matsuda, F.W.Growford Phys. Fl. 18, 1336, 1346, 1975.
20. S.G.Thornhill, D. ter Haar "Langmuir turbulence and modulational instability" Oxford, 1977.
Physics Reports 43, N 2, 45, 1978.
21. Л.И.Рудаков, ДАН СССР 207, 821, 1972.
22. С.В.Антипов, М.В.Незлин, Е.Н.Снежкин, А.С.Трубинов "Ленгмюровские солитоны". Препринт ИАЭ-2907, Москва, 1977.

Подписи к рисункам

Рис.1. Зависимость амплитуды волны от времени $\frac{E}{E_0} = f(\gamma_L t)$ /4/.
Сплошные кривые - теория /17/; точки - численный эксперимент /4/; $q = \gamma_L / \omega_B$; $\omega_B = k_0 \sqrt{\frac{e\varphi_0}{m}}$

$v\phi/v_T$	$E_0^2/8\pi nT$	q	$\sqrt{\frac{e\varphi_0}{m}}/v_T$
• 2,46	$3 \cdot 10^{-4}$	2,6	0,2
x 2,95	$4 \cdot 10^{-2}$	0,5	0,8
Δ 2,95	1,6	0,2	2,1

Рис.2а. Зависимость декремента затухания от амплитуды

$\gamma/\gamma_L = f(\sqrt{\frac{e\varphi_0}{m}}/v_T)$ при $v\phi = const$ /8/

$v\phi/v_T$	Δ	x	•	o
	2,46	2,95	4,2	6,9

Рис.2б. Зависимость декремента затухания от фазовой скорости

$\gamma/\gamma_L = f(v\phi/v_T)$ при $\sqrt{\frac{e\varphi_0}{m}} = const$ /8/

$\sqrt{\frac{e\varphi_0}{m}}/v_T$	Δ	x	•	o	+	◇
	1	1,6	2,6	4,2	5,4	6,3

Рис.3. Линии равного затухания $\gamma/\omega_{oe} = const$ и граница нелинейности в координатах $\sqrt{\frac{e\varphi_0}{m}}/v_T - v\phi/v_T$ /8/
Линия $\sqrt{\frac{e\varphi_0}{m}} = v_T \cdot \frac{v_T}{v\phi}$ - граница применимости теории /17/

Рис.4. Схема - области неустойчивости одномерной ленгмюровской волны по теории /20/, линии равного затухания $\gamma/\omega_{oe} = const$ и граница нелинейности в координатах $E_0^2/8\pi nT - (k_0 r_d)^2$ для $M/m = 1836$.

Рис.5. Распределение поля $E(x)$ и возмущения плотности $\tilde{n}_i/n_0(x)$ в разные моменты времени /6/.

$T_{oe} = 2\pi/\omega_{oe}$ - период плазменных колебаний.

Случай 7. $E_0^2/8\pi nT = 10^{-1}$, $v\phi/v_T = 16$.

Рис.6. Зависимость от времени максимальной плотности энергии $W_m/W_0(t)$ при разных амплитудах и $v\phi = const$ /6/.

$W_m = E_{max}^2/8\pi n_{min}T$; $W_0 = E_0^2/8\pi n_0T$;

E_{max} - амплитуда поля во впадине плотности;

n_{min} - минимальная плотность во впадине.

Нумерация по /7/. $v\phi/v_T = 16$.

Случай	6	7	8
$E_0^2/8\pi nT$	$4 \cdot 10^{-2}$	10^{-1}	$3 \cdot 10^{-1}$

Рис.7. Зависимость от времени максимальной плотности энергии $W_m/W_0(t)$ при разных амплитудах и $v\phi = const$ /4/.

Нумерация по /7/. $v\phi/v_T = 16$.

Случай	8	9	10	11	12	13
$E_0^2/8\pi nT$	$3 \cdot 10^{-1}$	1,6	11	18	36	115

Рис.8. Линии равного затухания $\gamma/\omega_{oe} = const$, линии постоянной энергии волны $E^2/8\pi nT = \alpha k r_d$, линия равновесных параметров солитона и начальные параметры волны из /6/ в координатах $E^2/8\pi nT - (k r_d)^2$.
Нумерация по /7/.

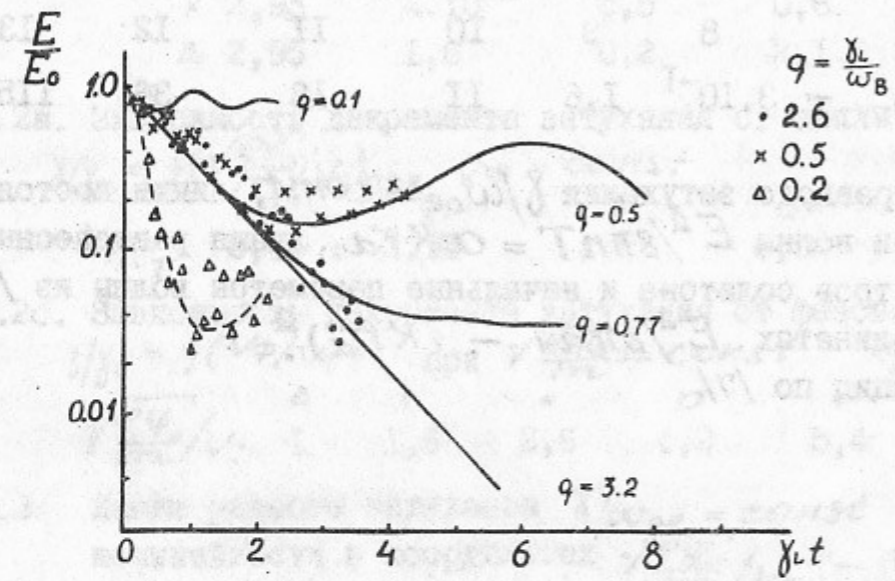


Рис. 1

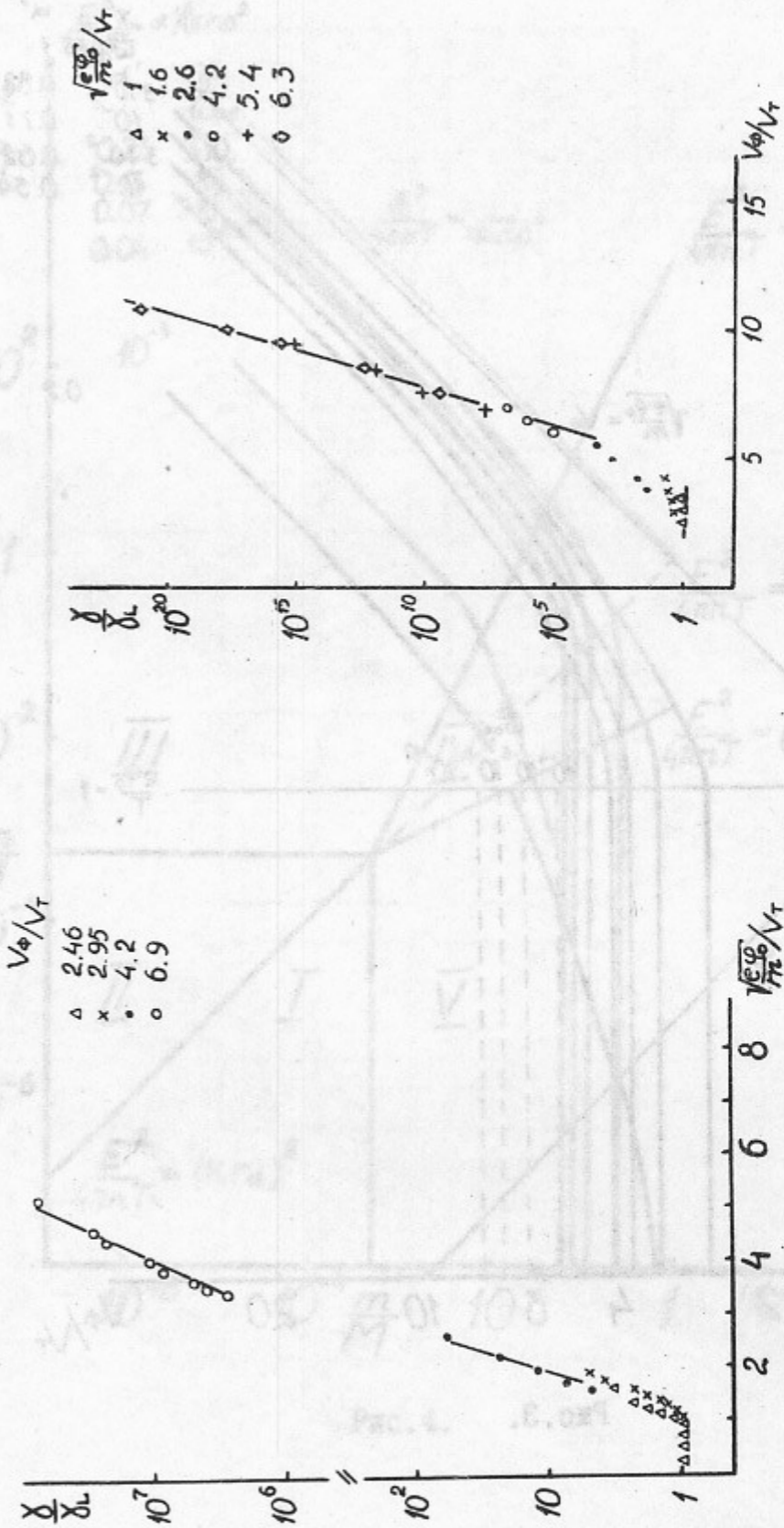
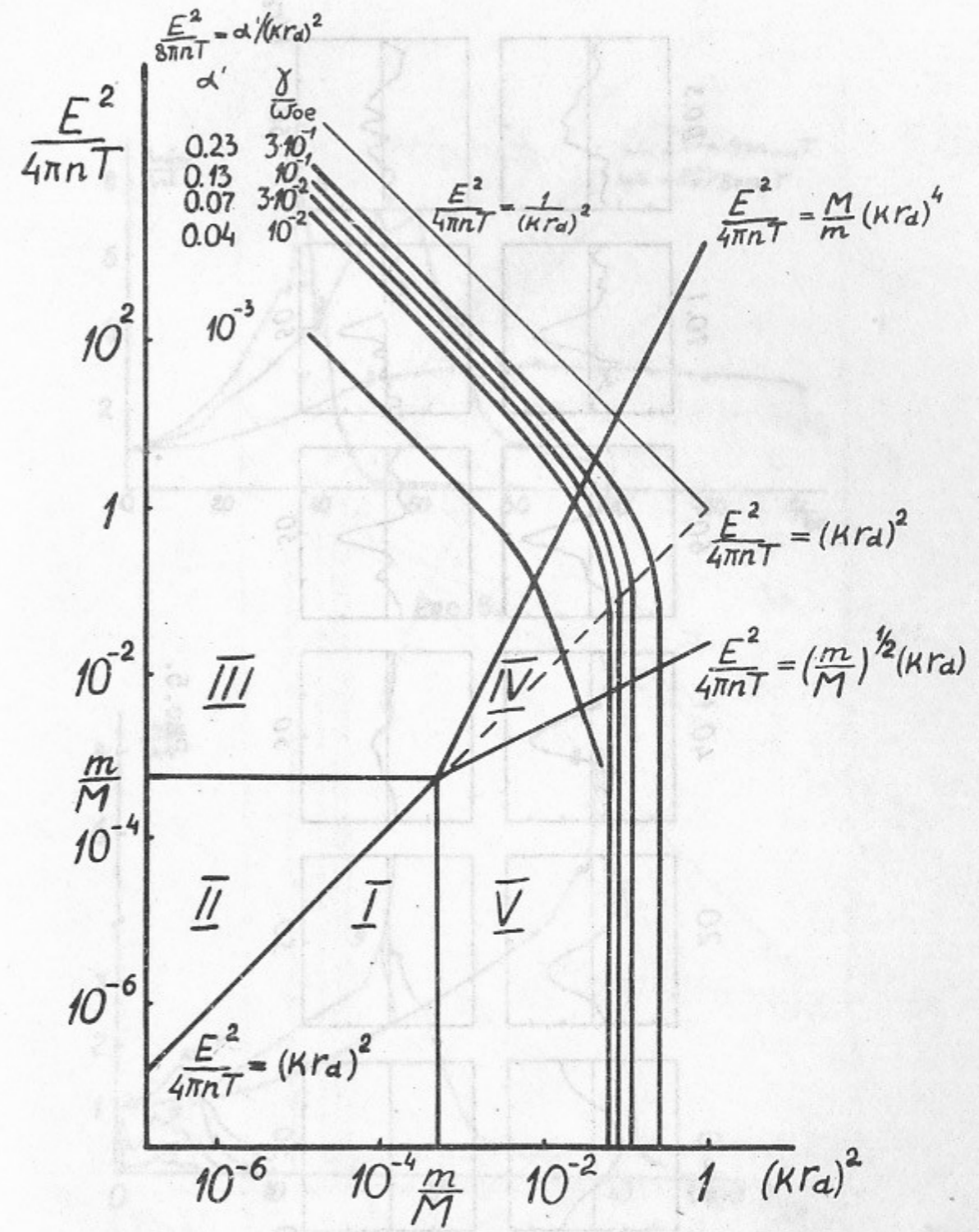
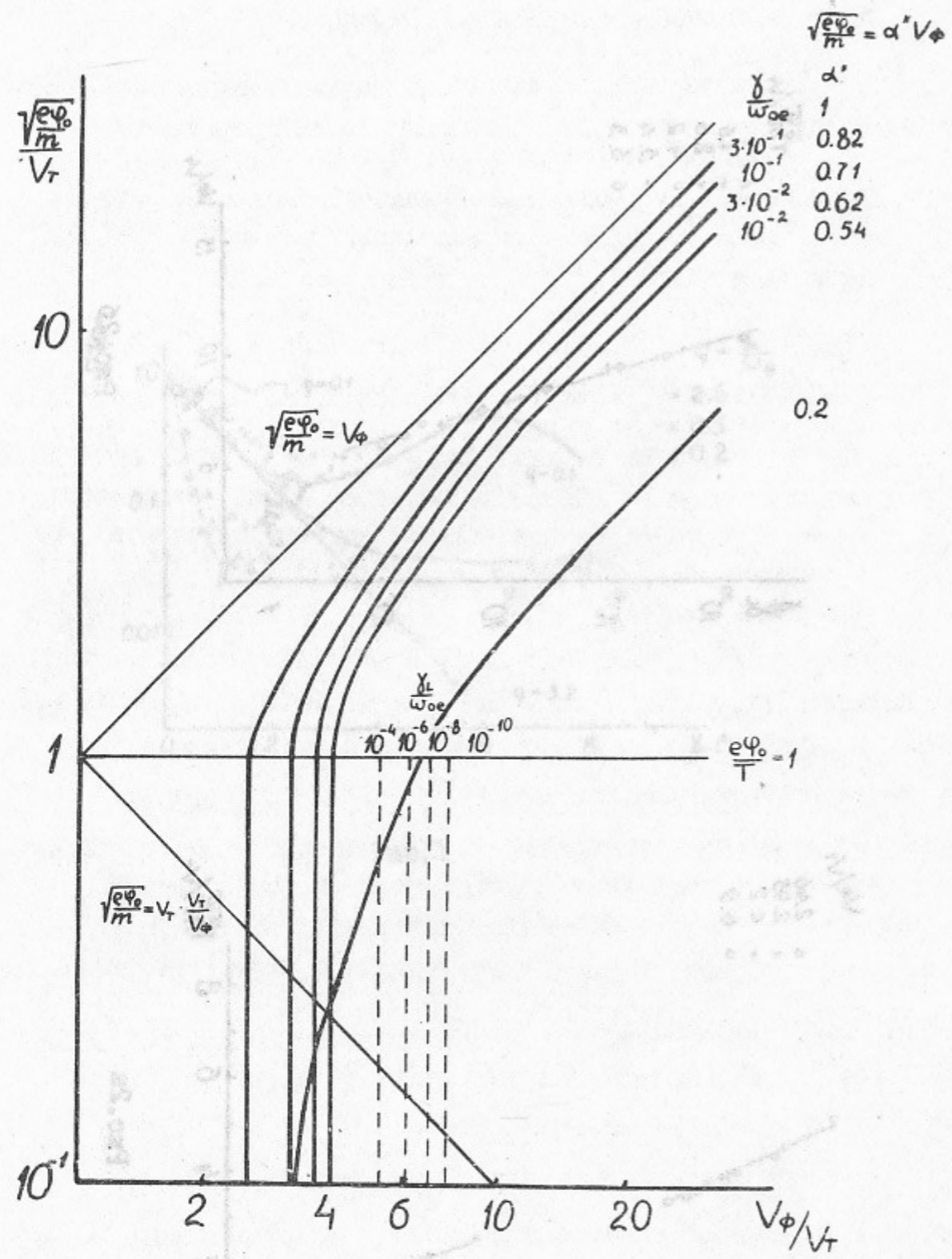


Рис. 2б

Рис. 2а



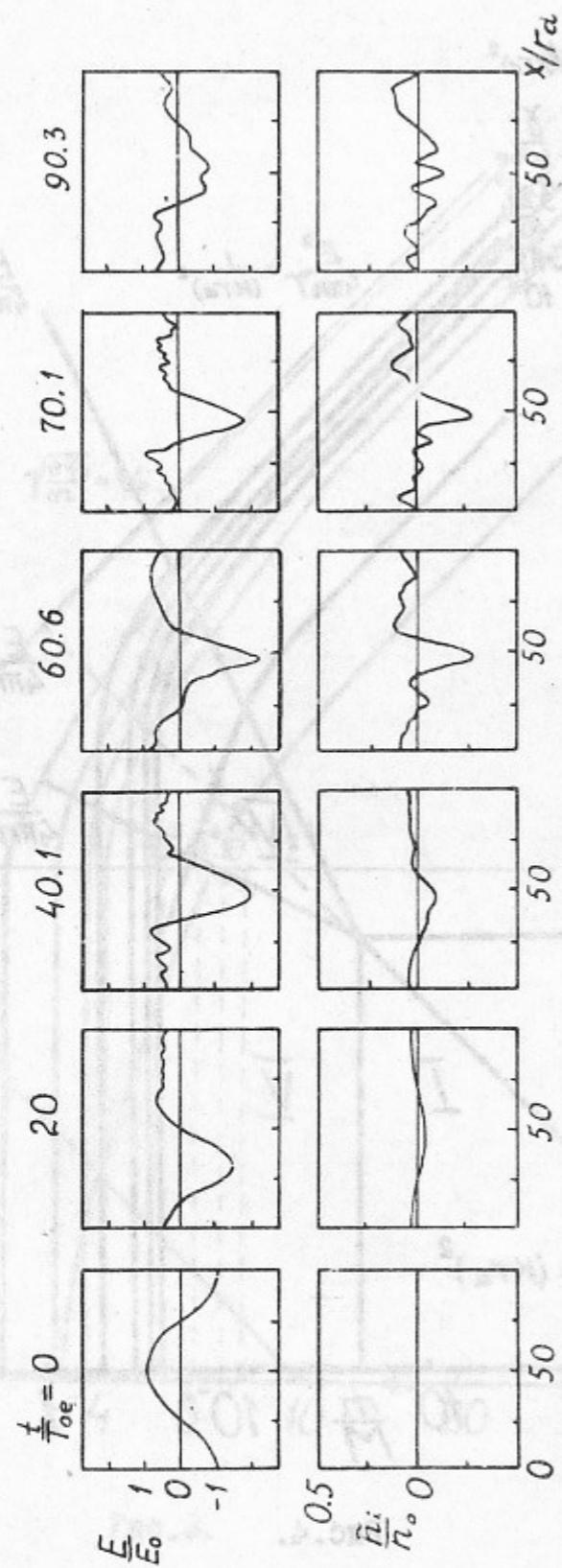


Рис. 5.

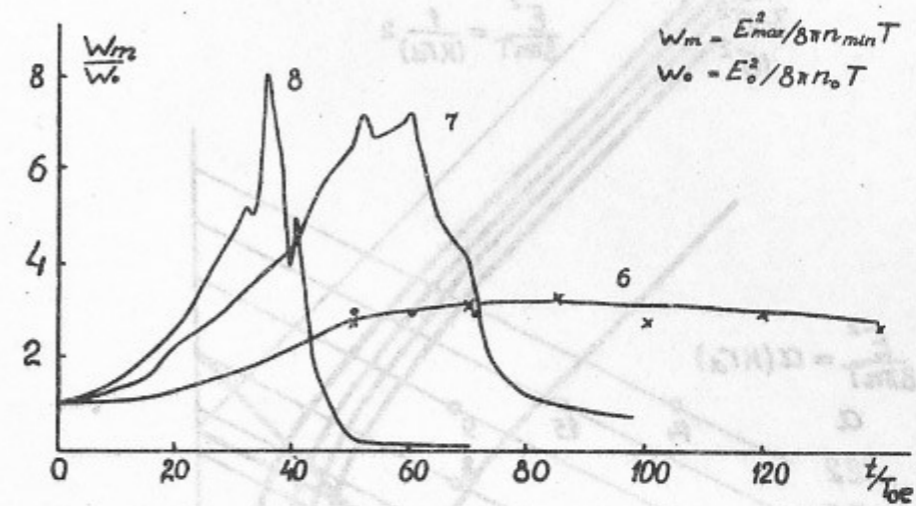


Рис. 6.

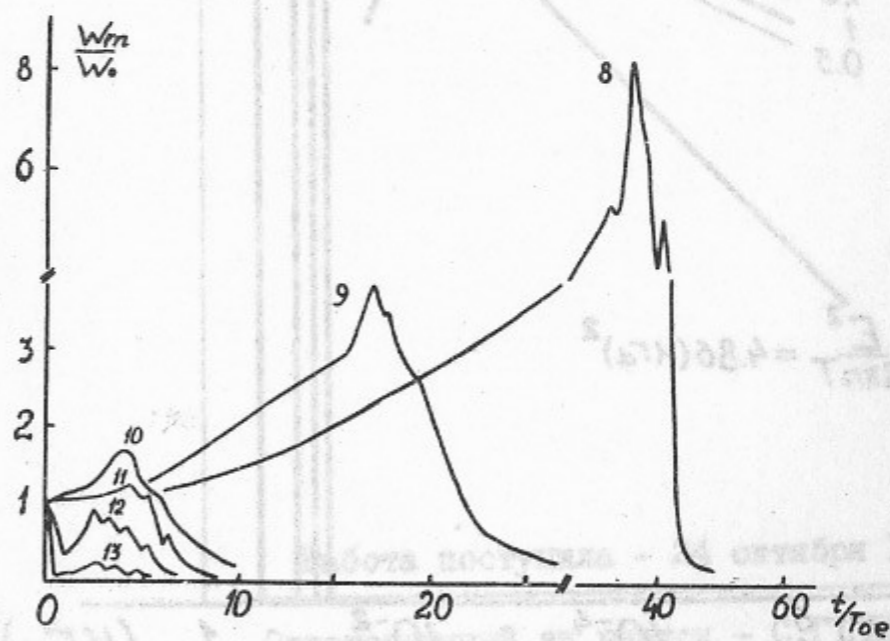


Рис. 7.

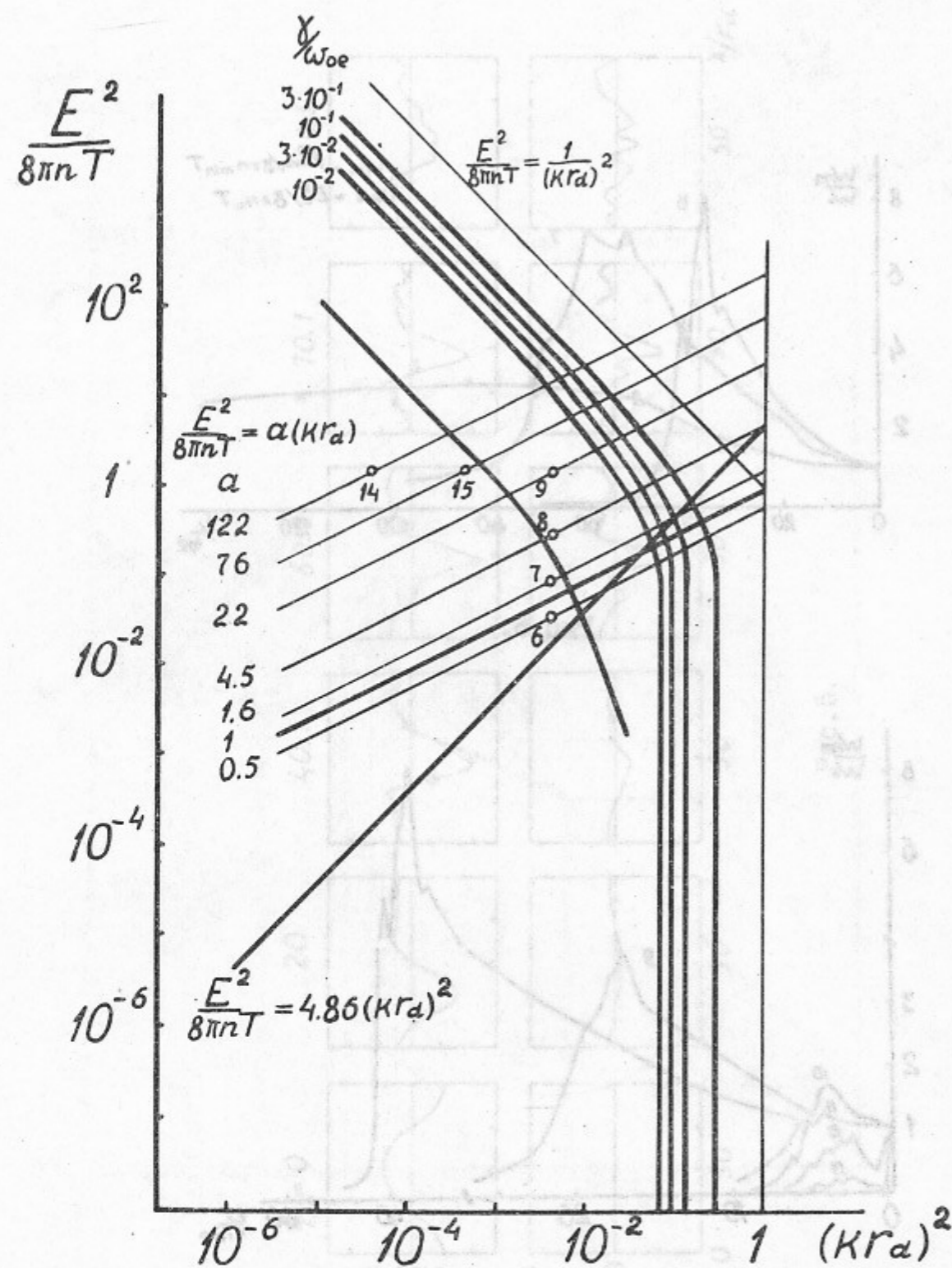


Рис. 8

Работа поступила - 24 октября 1979 г.

Ответственный за выпуск - С.Г.ПОПОВ
 Подписано к печати - 21.XI-1979 г. МН 06786
 Усл. 1,5 печ.л., 1,3 учетно-изд.л.
 Тираж 290 экз. Бесплатно
 Заказ № 115.

Отпечатано на роталпринте ИЯФ СО АН СССР